

正会員 国鉄 構造物設計事務所 近藤時夫
○正会員 国鉄 構造物設計事務所 岩田尚彦

1. まえがき

後来 40m程度の中スパン あるいはそれ以上の長大スパンの複線鉄道橋を箱形断面形式のPCげたで計画し 実施設計を行なう場合には 単線一室げたの並列方式 あるいは複線二室げた方式の一 般に用いられてきた。今回 山陽新幹線におけるスパン 40m程度以上のコンクリート橋の特殊設計 および標準設計を行なうに当たり、複線PC一室げたの設計の可能性を検討し その検討結果を考慮に入れて実施設計を行なつたので報告する。

2. 設計上考慮した基本的事項

2.1 設計条件

(1) 軌道方向について

軌道方向の部材断面応力度の計算に用いた設計条件は 表-1の通りである。

(2) 軌道直角方向について

軌道直角方向の部材断面の応力度計算に用いた設計条件のうち コンクリートの許容曲げ引張応力度 および斜引張応力度は 箱形断面形状を構成する各部材(圧縮実縫、スラブ および腹部)が受ける荷重状態 および施工誤差によつて生ずる応力変動を考慮に入れ 許容曲げ引張応力度としては 軌道直角方向の構造解析により 曲げ応力とせん断応力を受ける箇所、曲げ応力のみを受ける箇所のそれぞれにつれて 部材設計上の目標として 5% および 15%とした。この場合 曲げ応力とせん断応力を同時に受ける箇所については 設計上考慮された標準とする荷重による部材応力と 荷重位置の偏倚 および施工誤差等の部材応力変動の要因のうちの一つと組合せた場合を含めて 5% とし 部材応力変動の要因のすべてを組み合わせた場合でも最大 15%を越えないように配慮した。

(a) 実施設計に用いたコンクリートの許容曲げ引張応力度

コンクリートの圧縮強度と引張強度との関係(図-1) および 曲げ引張極限ひずみ ϵ_{cr} と引張強度 f_{ck} との関係は直線的な関係にあり 藤田博士^①によれば $\epsilon_{cr} = (18.5 + 0.02 f_{ck}) \times 10^{-5}$ または $\epsilon_{cr} = (1.3 + 0.39 f_{ck}) \times 10^{-5}$ であるとされ、また岡田博士 および山田博士 によれば曲げ引張極限ひずみは 30×10^{-5} および 15×10^{-5} 程度になると云われる。

静的な曲げ応力をうけるRC部材においては 断面の引張応力は いかわれるまではコンクリートと鉄筋によつて分担して受け持つ いかわれる後はその大部分を鉄筋でうけもつようにならたり、いかわれゆる後は成長はこれらによつて拘束されるのでRC部材

設計基準表 表-1

	スパン	45.000
	活荷重	B-13
	衝撃係数	0.310
コントラート	強度	設計基準強度(附令28日) 400%
		プレストレスト入時 360%
	許容容応力度	プレストレスト入後(正縮) 170% " (引張) -15% 設計基準引張強度 130% " (最大引張) 0% " (斜引張) -9% " (斜引張) -20% 破壊荷重時引張強度(許容値) " (最大引張) 40(%)
PC鋼	引張強度	176%
より	降伏応力度	150%
定着位置における引張強度許容応力度	135%	
12.4mm	設計断面12.4mm時許容引張強度許容応力度	106%
12.4mm	上ラフセーション	5%
PC鋼錆	引張容応力度	110%
	降伏点応力度	95%
(SFR-L10)	設計荷重作用時許容応力度	66%
	構造荷重時引張強度(許容値) " (最大引張) 300(%)	

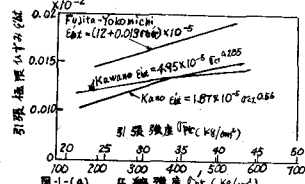


図-1-(a) 引張強度 f_{cr} (kg/cm^2)

圧縮強度 f_{ck} (kg/cm^2)

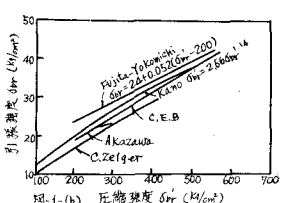
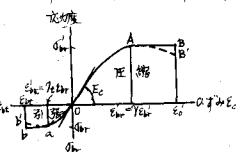


図-1-(b) 引張強度 f_{cr} (kg/cm^2)

圧縮強度 f_{ck} (kg/cm^2)

では、無筋コンクリート部材と比較すれば引張応力をうける部分のコンクリートが十分クリープを起こした後にひびわれが発生するものとされ、PC部材においても同様であるとされる。静的に曲げを受ける部材のひびわれ発生時にかけた引張応力をうける部分のコンクリートの応力度の分布形状に破壊時の圧縮応力をうける部分のコンクリートと同様であり、応力へひずみ曲線は一般に図-2のように表わすことが出来るとされる。⁽¹⁾ この曲線を前提とし、軌道直角方向の構造解析により、腹部コンクリートの許容曲げ引張応力度を定めたために、ひびわれ曲げモーメントおよびひびわれ安全度を次の5つの仮定で計算した結果、最もひびわれ状態と種々の要因に基く応力変動とを組み合わせた場合で平均的であった。仮定としては(1)断面は平面を保持する。(2)コンクリートの圧縮応力度の分布は三角形とする。(3)コンクリートの引張応力度の分布はエクス放物線形と長方形の組合せとし、コンクリートの最大引張応力度は検査28日における引張応力度($\sigma_{cr} = 34.54 \text{ kg/cm}^2$)とする。(4)コンクリートの最大引張ひずみは曲げ屈限ひずみ ϵ_{ct} とし、引張塑性係数を0.65とする。(5)コンクリートのヤング率は $E_c = 34.10^{10} \text{ kg/cm}^2$ 、鉄筋の応力度は弹性範囲内にあるものとし、ヤング率は $2.1 \times 10^{10} \text{ kg/cm}^2$ とする。

図-2 断面コンクリートの応力・ひびわれ曲線

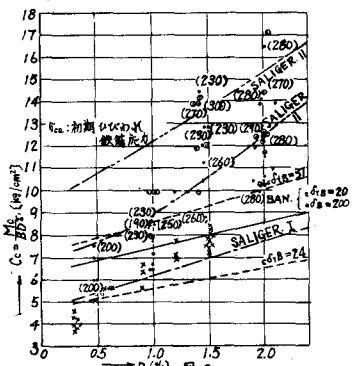


また、鉄筋コンクリート長方形柱のひびわれ発生モーメントに部材断面の鉄筋比より定まる図-3の平均値を用いて計算すれば、設計荷重に対するひびわれ安全度はこの仮定で計算して5.0となり、ひびわれ安全度は5.0~11.5程度となる。

しかし、鉄道橋用ひびわれ部材のようには大きな繰り返し応力を受ける場合には、繰り返し応力の影響が特に重要である。Erikbergによれば、動的ひびわれ曲げモーメントは常に静的ひびわれ曲げモーメントに比較して小さく、一般に前者は後者のほぼ85%程度とされる。そこで、この場合の繰り返し応力に対するひびわれ曲げモーメントの安全度は標準的安全度を受ける状態で43~9.8、施工誤差、荷重の偏倚などの部材に応力変動を生ずる要因と加えて最悪の荷重状態に対して2.0~4.0となる。また、大きな繰り返し応力の影響をうけるRC部材あるいはPC部材においては、安全度の値として11.5~2.6まで一般に採用されてくるようであるが、特殊な構造物の部材、あるいは立地条件以外では2.0程度を採用して良いと思われる。

PC部材として設計荷重作用時、部材引張部におけるコンクリートの曲げ引張応力度を20%程度とし、RC部材とフルPC部材とのほぼ半開的なる一セクタルPC部材として設計した部材の場合でも、野口博士らの疲劳試験結果によれば、疲労限度の低下はほとんど見られなかつたが、曲げ引張応力度を15%とした。

今回、山陽新幹線の特殊設計、および標準設計に用いたPC柱の軌道直角方向断面を考える。各部材はその経済性から「エスラブ」および「正弦実線のみを化部材」とし、腹部および下スラブはRC部材として設計することにしたので、エスラブについては、設計荷重作用時、コンクリートの許容曲げ引張応力度として15%を、腹部については、破壊荷重の設定に用いた荷重係数を、厳密な意味では部材の安全度ではないが、一つの便法として許容応力度方式で用いる安全度とし、やや高めではある。



~~許容せん断力~~ 用いて、最も重い荷重状態および種々の要因に基く応力変動に対して、コンクリートの許容曲げ引張応力度としては、コンクリートの引張強度の40%を考慮して安全側に最大15%とした。

(b) 施工設計で用いた許容斜引張応力度

コンクリートの許容斜引張応力度としては、(a)で述べた如く、設計荷重に対する安全度はあるとしても、何らかの理由（例えは施工中の支保工などの沈下による）で斜材にひびわれが生じた場合には、ひびわれが生じた状態で二つの斜材間にせん断応力が完全に伝達されない場合には、ひびわれを生じた箇所の性状は、合成された斜材接合面と同一の性質を持つものであればよいと考えられる。

ACI 鋼筋コンクリート構造計算規準(318-63) 25章 コンクリート合成曲げ部材 2505条によれば、接合面に垂直結合の鉄筋の形で機械的な埋込みを設計した場合には、その結合鉄筋の配置間隔はスラブ厚さの4倍以下、60cm以下としなければならない。この場合の最小鉄筋断面積は、接触面積の0.15%とし出来ればすべての鉄筋をスター・ラップを延ばしたもので用いることが望ましい。との(c)項に対しては、許容せん断応力度の値としては12%まで、また更に、補強鉄筋を加えて配筋する場合には、接触面積の1%に当たる鉄筋の断面積を増すことにより、粗い面の許容せん断応力度を5.3%の割合で増してもよい。と規定されている。従って、今回の設計においては、プレストレスによる圧縮力を考慮に入れて、コンクリートの許容斜引張応力度を最大15%とした。

2.2 断面諸元決定のための検討事項

(1) 軌道方向について

軌道方向の断面応力に対しては、2.1 (1)に示す設計条件を踏まえ柱に通常の検討を行なった。

(2) 軌道直角方向について

軌道直角方向断面の構造解析としては、この場合のように荷重が偏心して作用する場合、載荷によって生ずる変形の外に、拘束ねじりのために生ずる変形の影響をうけないと考えられるが、荷重の偏心量が比較的小さく、腹部の荷重分配が均等であると考えても差支えない場合には、拘束ねじりのために生ずる変形の影響は小さく無視して良いと考えられるので、本設計においては、箱形ラーメンとして各部材の応力を検討した。

構造解析の前提として、橋脚頭部橋の制約から、下スラブのスパンを5.60m、山陽新幹線建造物設計基準規程より定まる施工基面幅(高欄内側距離)を11.50mとし、上スラブのスパン 5.0m, 5.3m, 5.5m の三種類の箱形断面形状につき、2.1の設計条件を基として、以下に述べる検討事項を考慮の上、経済的で安全な断面形状を選定した。

(a) 圧縮舷縁については、腹部との接合面における水平せん断力、片持スラブとしての曲げモーメント、およびせん断力、複数先端の撓み量の検討を行なった。(b) 上スラブについては、二方向スラブとしての構造解析によつたが、特に活荷重については、部分等分布荷重、および換算等分布荷重の二種類を用い、標準とする載荷位置、スパン中央、および標準とする載荷位置より危険側に偏倚した場合について応力を検討を行ない、更に施工後走行する道床砂利散布用トラック荷重については、危険側に載荷して同样に検討した。この場合、腹部との接合部に設計したスラブのハニチは、構造解析を無視して計算した。(表2) (c) 腹部については、上スラブの支点の比較的大きなハニチの剛域を考慮に入れたラーメン構造として、構造解析を行なった結果から決定したが、この場合、種種の荷

重の組合せた応じて 2.1 の設計条件を満足されるように検討した。(d) 下スラブにつけて (e) で述べた腹部の構造解析とあわせて検討した。

以上、(a)～(c)の検討事項以外に、けた施工中の製作誤差に基づく応力変動も考慮した。製作誤差の要因として考慮したものに上スラブ PC 鋼板位置の偏倚 プレストレスの増減 箱形断面形状の製作上の狂いなどである。

表 - 3

3. 実施設計

2 で述べた種々の検討事項による結果に基づき、その設計条件と照らし合わせ、更に PC 一層げたとして最も安全で、最も経済的な断面形状が図-5 であり、同ースパンの PC 一層げたとの工費の経済比較の結果からも複線鉄道橋として最適断面形状であると判断し、これを実施設計とした。

検討位置	スパン中央	支点
検討要因		
(1) 鋼板位置 の偏倚 ±1 cm	$\epsilon_c = +4.1\%$ $\epsilon_c = -6.0$	$\epsilon_c = 10.1\%$ $\epsilon_c = \pm 1.1$
(2) プレストレスの増減 ±10%	$\epsilon_c = \pm 0.1$ $\epsilon_c = \pm 4.2$	$\epsilon_c = \pm 2.0$ $\epsilon_c = \pm 0.9$
(3) 箱形スパン P 増減 ±5 cm	$\pm 2\%$ $(\delta = \pm 1.1)$	$\pm 2\%$ $(\delta = \pm 0.6)$
(4) 施工誤差 の最大の長短 ±5 cm	$\pm 3\%$ $(\delta = \pm 1.1)$	

4. まとめ

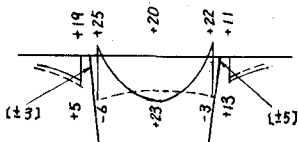
PC複線鉄道橋の特殊設計あるいは標準設計として、PC 一層げたは従来使用されていないものであるが、今回 山陽新幹線における特設設計 および標準設計に当たり、PC 一層げたの複線鉄道橋としての設計の可能性と種々の課題を検討した結果、経済的で、安全な断面形状を今回選定する事があつたが、山陽新幹線の構造物として使用するという特殊事情の故に、この実施設計においては、その後の施工上の諸問題を含めて一般にけたの使用状態における部材の安全性が他の PC 構造物と比較してやや高めに保証されるよう配慮されてある。なお、今後この設計上の問題点としては、施工中に部材応力の変動を来たすと仮定した種々の要因の大きさを適確に把握し、それらを設計に反映していくことが重要であると思われる。

5. 主参考文献

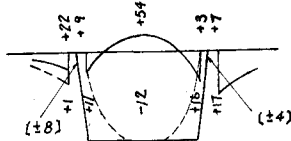
- (1) 陳田嘉夫 単純曲げミラーフルスパンコンクリート析か上ひアーチプレストレスコンクリート析の極限强度設計法に関する研究 コンクリートライブラリー 16 号土木学会
- (2) 武藤清 鉄筋コンクリート構造物の塑性設計 (執筆)
- (3) Ekberg, Walther Fatigue Resistance of Prestressed Concrete Beams in Bending J. A. S. C. E. 1957.7

荷重の分類	計算式	Hönnberg	Pucher	実験値
$W = \frac{1}{6} \cdot 0.5 \cdot 3.2 \cdot (1+0.04) \cdot 14.7 \cdot \frac{1}{2}$	0.46%	0.56%	1%	—
$W = \frac{1}{6} \cdot 1.651 \cdot 19.62 \cdot \frac{1}{2}$	-5.11	-3.85	—	—
$W = \frac{1}{2.5 \cdot 3.2} \cdot (1+0.04) = 4.0\%$	1.11	1.69	—	—
$W = \frac{1}{6} \cdot 1.651 \cdot 19.62 \cdot \frac{1}{2}$	-5.30	-5.12	—	—
$W = \frac{1}{2} \cdot 3.2 \cdot (1+0.04) = 3.43\%$	2.62	2.78	2.77	—
$W = \frac{1}{6} \cdot 1.651 \cdot 19.62 \cdot \frac{1}{2}$	-7.71	-7.52	-7.89	—

図 - 4



死荷重+プレストレス作用時



設計荷重作用時

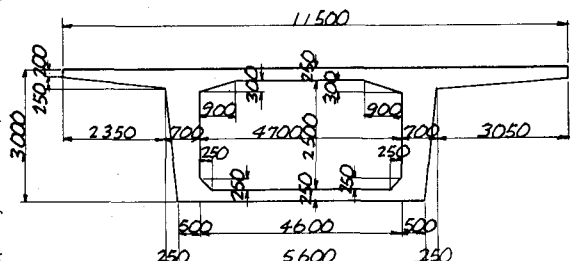


図 - 5